

# $\Psi' \rightarrow p\bar{p}$ 角分布测量中的效率修正<sup>\*</sup>

焦健斌<sup>1,2;1)</sup> 朱永生<sup>2</sup> 张学尧<sup>1</sup>

1(山东大学 济南 250100)

2(中国科学院高能物理研究所 北京 100049)

**摘要** 利用参考衰变道  $J/\psi \rightarrow p\bar{p}$  的高统计量通过判选条件转换实现对  $\Psi' \rightarrow p\bar{p}$  过程角分布测量中 Monte Carlo 效率的修正，并对该方法可能带来的系统误差进行估计，这些结果被用于  $\Psi' \rightarrow p\bar{p}$  角分布的测量。

**关键词** 效率修正 角分布 参考衰变道

## 1 引言

根据强子螺旋度守恒规则,  $e^+e^- \rightarrow \Psi' \rightarrow B_8\bar{B}_8$  过程的角分布可以写成:

$$\frac{dN}{d\cos\theta} \propto 1 + \alpha \cos^2\theta, \quad (1)$$

这里  $\theta$  是在实验室系下重子 ( $B_8$ ) 与  $e^+$  束流方向之间的夹角<sup>[1]</sup>。

在假设粲夸克的质量为无穷大的前提下, 由强子螺旋度守恒规则可得  $\alpha=1$ <sup>[1]</sup>, 而实际上, 由于粲夸克的质量是有限的, 因此  $J/\psi$  与  $\Psi'$  衰变为重子对末态的角分布  $\alpha$  值根据螺旋度对称性的理论预言应是介于 0 和 1 之间的常数。

对  $\Psi' \rightarrow p\bar{p}$  过程的角分布参数  $\alpha$  值的已有理论预言和实验测量见表 1。

表 1  $\Psi' \rightarrow p\bar{p}$  角分布参数  $\alpha$  值的预言与测量

$\alpha$ 值	来源
理论预言值	
$\alpha = 0.58$	Claudson et al. <sup>[2]</sup>
$\alpha = 0.80$	Carimalo <sup>[3]</sup>
实验测量值	
$\alpha = 0.67 \pm 0.15 \pm 0.04$	M. Ambrogiani <sup>[4]</sup>

BES 合作组采集了 14M  $\Psi'$  事例<sup>[5]</sup>, 根据其他实验测得的  $\Psi' \rightarrow p\bar{p}$  的分支比(见表 2), 结合该过程的事例探测效率(约为 38%), 可知 BES 能探测到超过 1000 个  $\Psi' \rightarrow p\bar{p}$  事例, 因此有可能测量该反应的角分布。为此

目的需要了解  $p\bar{p}$  末态探测效率  $\epsilon_{p(\bar{p})}$  对角度  $\theta$  的依赖关系。而  $\Psi' \rightarrow p\bar{p}$  事例数统计量却不足以对此进行精确的研究。

表 2 不同实验组测得的  $\Psi' \rightarrow p\bar{p}$  的分支比

分支比( $\times 10^{-4}$ )	来源
$2.3 \pm 0.7$	MARK-I <sup>[6]</sup>
$1.4 \pm 0.8$	DASP <sup>[7]</sup>
$2.16 \pm 0.39$	BES-I <sup>[8]</sup>
$2.87 \pm 0.20$	CLEO-C <sup>[9]</sup>
$3.3 \pm 0.9$	BABAR <sup>[10]</sup>

BES II 采集了 58M  $J/\psi$  事例<sup>[11]</sup>, 根据分支比  $BR(J/\psi \rightarrow p\bar{p}) = (2.26 \pm 0.01 \pm 0.14) \times 10^{-3}$  和相应的探测效率约为  $\epsilon = 49\%$ <sup>[12]</sup>, 可知能够观测到约 63000 个  $J/\psi \rightarrow p\bar{p}$  事例, 利用这一高统计的事例样本, 可以比较准确地确定  $\epsilon_{p(\bar{p})}$  随  $\theta$  变化的关系, 用来对 Monte Carlo 确定的效率进行修正。本文描述通过参考衰变道  $J/\psi \rightarrow p\bar{p}$  来实现这一修正并应用于  $\Psi' \rightarrow p\bar{p}$  角分布参数测量的方法。

## 2 $\Psi' \rightarrow p\bar{p}$ 事例的挑选

为了测量  $\Psi' \rightarrow p\bar{p}$  过程的角分布, 首先要挑选出较为纯净的  $\Psi' \rightarrow p\bar{p}$  事例。由于该过程是一个两体强衰变过程, 因此要求末态中有且仅有两条好的重建带电径迹, 其总电荷数为 0; 每条径迹都要求有好的螺旋

2006-03-07 收稿

\* 国家自然科学基金(10491303)和中国科学院百人计划基金(U-25)资助

1) E-mail: jiaojb@mail.ihep.ac.cn

线拟合; 径迹与对撞点之间的距离在  $xy$  平面内小于 2cm,  $z$  方向小于 20cm; 径迹极角余弦的绝对值限制在 0.8 以内; 径迹的横动量大于 0.070GeV. 根据该衰变道的特性, 参考  $J/\psi \rightarrow p\bar{p}$  事例的判选条件<sup>[12]</sup>, 我们确定了如下的事例判选规则:

(a) 宇宙线的排除: 为了去除宇宙线的干扰, 正负粒子飞行时间差的绝对值应当小于 4ns, 即  $|t_+ - t_-| < 4\text{ns}$ ;

(b) 粒子鉴别: 如果用  $t_{\text{meas}}$  表示粒子飞行时间的测量值, 用  $t_{\text{exp}}(\pi, K, p)$  表示假定该粒子为  $(\pi, K, p)$  时飞行时间的预期值, 那么必须同时满足  $|t_{\text{meas}} - t_{\text{exp}}(p, \bar{p})| < |t_{\text{meas}} - t_{\text{exp}}(K)|$  和  $|t_{\text{meas}} - t_{\text{exp}}(p, \bar{p})| < |t_{\text{meas}} - t_{\text{exp}}(\pi)|$ ;

(c) 非共线角条件: 该过程是一个两体过程, 所以来自该过程的一对正负粒子之间的非共线角  $\theta_{\text{acol}}$  应当尽量小, 这里要求  $\theta_{\text{acol}} < 5^\circ$ ;

(d) 沉积能量条件: 正电荷在桶部簇射计数器内的沉积能量应小于 0.750GeV, 即  $E_+ < 0.750\text{GeV}$ , 用以排除  $e^+e^-$  本底;

(e) 质心系能量条件: 假设末态的一对正负粒子是来自  $\psi' \rightarrow p\bar{p}$  过程, 则他们的能量之和与  $M_{\psi'}$  的差别应当尽量小, 这里要求  $|E_p + E_{\bar{p}} - M_{\psi'}| < 0.130\text{GeV}$ ; 其中  $E_{p, \bar{p}}$  是根据测得的  $p(\bar{p})$  动量计算的.

(f) 反质子动量条件: 要求负粒子的动量与预期值(即来自信号道的反质子的动量 1.586GeV)之间的差别应小于 0.150GeV.

经过以上挑选后, 数据和 Monte Carlo(MC) 样本的质子动量谱分布的对比可以反映出数据的纯净程度(见图 1).

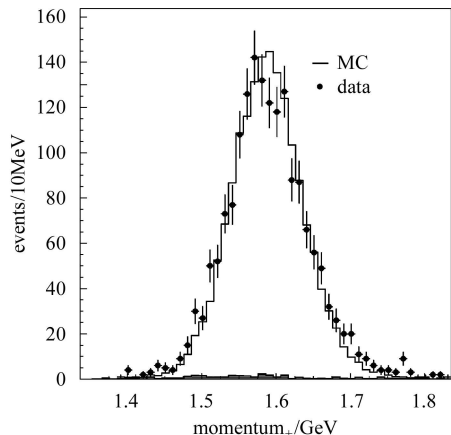


图 1  $\psi' \rightarrow p\bar{p}$  中质子动量分布的初步结果  
直方图表示 MC 的分布(MC 样本包括信号道与本底道, 均按照其分支比归一并加在一起), 误差棒表示真实数据的分布, 阴影部分是模拟的本底.

## 本底估计

对于  $\psi' \rightarrow p\bar{p}$  过程, 可能的本底道主要为与信号道同为两个荷电径迹的衰变道, 及那些两个荷电径迹带光子的过程, 通过 2004 年的粒子数据表<sup>[13]</sup> 和利用 Lund 模型产生的  $\psi' \rightarrow \text{anything}$  样本<sup>[14]</sup> 可以找到主要的这类本底, 例如: Bhabha, Dimu,  $\psi' \rightarrow \gamma \chi_{CJ(J=0,1,2)} (\chi_{CJ(J=0,1,2)} \rightarrow 2-\text{prong})$ ,  $\psi' \rightarrow \pi^0 \pi^0 J/\psi \rightarrow \pi^0 \pi^0 \mu^+ \mu^-$ , 等等. 通过对这些本底道 MC 样本的研究, 发现这些本底总的影响在真实数据中占的比重小于 2.5%(见图 1).

## 3 $\psi' \rightarrow p\bar{p}$ 过程的角分布

如前所述,  $\psi' \rightarrow p\bar{p}$  过程的角分布可以写成公式(1)的形式:

如果把 MC 的效率 ( $\epsilon_{\text{MC}}$ ) 和效率修正 ( $f_c$ ) 的因素考虑在内, 那么实验测量到  $p\bar{p}$  的角分布应表示为以下形式:

$$\frac{dN_{\text{meas}}}{d\cos\theta} \propto (1 + \alpha \cos^2\theta) \times \epsilon_{\text{MC}}(\cos\theta) \times f_c(\cos\theta). \quad (2)$$

### 3.1 MC 效率 $\epsilon_{\text{MC}}(\cos\theta)$

为了得到 MC 效率与极角的依赖关系, 我们用均匀相空间产生子模拟了 500,000  $\psi' \rightarrow p\bar{p}$  事例. 在经过事例挑选前后, 质子飞行方向与  $e^+$  束流方向间夹角的余弦分别呈现不同的角度依赖关系(见图 2), 两者之间的比即为 MC 效率随极角余弦的变化.

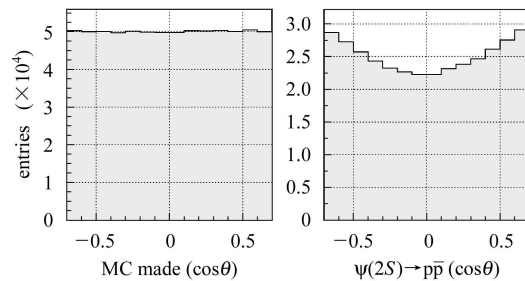


图 2 左图为事例挑选前  $p\bar{p}$  事例的  $\cos\theta$  的分布, 右图为事例挑选后的分布(这里的  $\theta$  是实验室系中质子的极角或反质子极角的补角)

### 3.2 MC 效率的修正 $f_c(\cos\theta)$

在实验过程中, 用 Monte Carlo 样本对待测过程进行模拟总会出现偏差, 对于相同的判选条件, 这种差别将会导致 MC 与真实数据有不同的选择效率, 因此为了尽可能的减小系统误差, 应当对 MC 效率进行修正.

修正函数  $f_c(\cos\theta)$  包含了对每一个判选条件的修正, 定义为以下形式:

$$f_c(\cos\theta) = \frac{\epsilon_{\text{Data}}}{\epsilon_{\text{MC}}}(\cos\theta) = \prod_i \frac{\epsilon_{\text{Data}}}{\epsilon_{\text{MC}}}(\cos\theta)(i),$$

$$i = \text{PID}_+, \text{PID}_-, E_+, E_p + E_{\bar{p}}, \theta_{\text{acol}}, P_{\bar{p}}^{[12]}, \quad (3)$$

则经过了修正的 MC 效率为

$$\epsilon'_{\text{MC}}(\cos\theta) = \epsilon_{\text{MC}}(\cos\theta) \times f_c(\cos\theta), \quad (4)$$

如前所述,  $\psi' \rightarrow p\bar{p}$  事例统计量的限制使得我们无法通过信号道本身得到效率修正, 而需要借助其他高统计量的衰变道来近似的定出这一修正曲线。这里选用的参考衰变道是  $J/\psi \rightarrow p\bar{p}$ , 该衰变道是与信号道具有相同的衰变末态的强衰变过程, 有着较大的统计量, 也更容易得到纯净的样本(关于  $J/\psi$  与  $\psi'$  数据采集环境的差别的影响将在系统误差部分加以说明)。使用参考衰变道研究 MC 效率的修正, 首先需要把原信号衰变道的判选条件等价的应用到参考道上, 这时就需要根据两个衰变道之间的联系对判选条件进行变换, 具体做法如下:

- (a) 宇宙线的排除  $|t_+ - t_-| < 4\text{ns}$ : 不需要作变换;
- (b) 粒子鉴别: 不需要作变换;
- (c) 非共线角条件:  $\theta_{\text{acol}} < 5^\circ \iff \theta_{\text{acol}} < 4.95^\circ$ : 在两个衰变道 MC 样本中, 我们要求被非共线角条件排除的事例在总事例中所占的比例相同, 在原信号道中, 被该条件排除的事例大约占 0.76%, 则在参考道中同样要求有 0.76% 的事例被该条件排除;
- (d) 沉积能量条件:  $E_+ < 0.750\text{GeV} \iff E_+ < 0.630\text{GeV}$ : 该条件利用 BSC 的沉积能量排除  $e^+e^-$  本底, 这里要求在两个衰变道中, 该条件对应的沉积能量点与各自的束流能量之比为常数, 即  $\frac{E_{\text{BSC}}}{E_{\text{beam}}} = c$ , 对于  $\psi' \rightarrow p\bar{p}$  和  $J/\psi \rightarrow p\bar{p}$ ,  $E_{\text{BSC}}$  分别为 0.750GeV 和 0.630GeV;
- (e) 质心系能量条件  $|E_{p\bar{p}} - 3.686| < 0.130\text{GeV} \iff |E_{p\bar{p}} - 3.097| < 0.080\text{GeV}$ : 参数  $E_{p\bar{p}}$  的分辨在信号道和参考道中分别为 0.065GeV 和 0.040GeV, 该条件要求测量值与理论预期值间的差别均小于 2 倍分辨;
- (f) 反质子动量条件  $|P_{\bar{p}} - 1.586| < 0.150\text{GeV} \iff |P_{\bar{p}} - 1.232| < 0.110\text{GeV}$ : 来自两个衰变道的反质子的动量分别为 1.586GeV 和 1.232GeV, 对应的分辨为 0.050GeV 和 0.037GeV. 该条件要求测量值与理论预期值间的差别均小于 3 倍分辨。

这样通过参考衰变道可得各判选条件效率的修正因子随  $\cos\theta$  的变化(见图 3), 它们的乘积即为总的效

率修正  $f_c(\cos\theta)$ (见图 4).

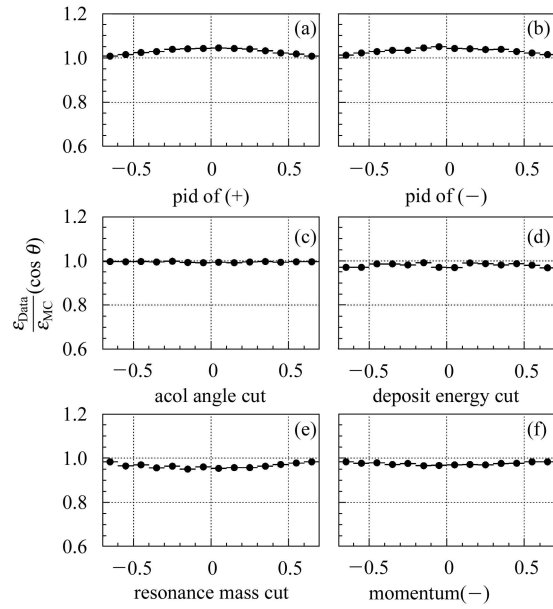


图 3 图(a), (b), (c), (d), (e), (f) 分别是正粒子鉴别, 负粒子鉴别, 非共线角条件, 沉积能量条件, 质心系能量条件和反质子动量条件的效率修正曲线

由图 3(c) 可知, 非共线角条件的修正是可以忽略的。考虑到探测器性能对于  $\cos\theta$  的对称性, 所以  $f_c(\cos\theta)$  应该可以用一关于  $\cos\theta = 0$  对称的平滑曲线  $f_c(\cos\theta) = 1 + \beta \cos^2 \theta$  来描述。

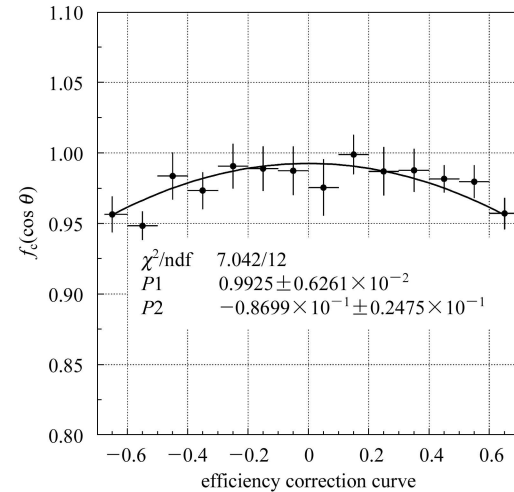


图 4 效率修正  $f_c(\cos\theta)$ , 图中误差棒表示的数据点为各判选条件效率修正的总效应, 数据点的误差包括了统计误差和丝分辨率带来的系统误差, 应用  $f_c(\cos\theta) = 1 + \beta \cos^2 \theta$  对其拟合,  $P2$  即拟合参数  $\beta$

为了检查这种变换的正确性, 把变换后的判选条件用于测量参考道的分支比和角分布, 并把结果与以前发表过的结果进行对比, 发现两者在误差范围内吻合, 例如角分布系数为  $\alpha = 0.707 \pm 0.038$ (见图 5), 与已

发表的结果  $\alpha = 0.676 \pm 0.036$  在误差范围内一致<sup>[12]</sup>. (这里  $\alpha$  值的误差仅为统计误差)

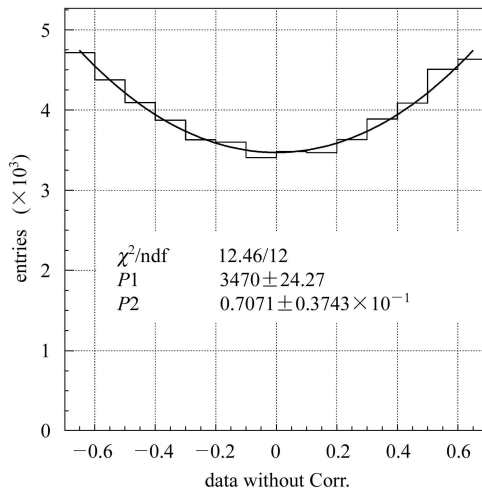


图 5  $J/\psi \rightarrow p\bar{p}$  中质子的角分布

图中拟合参数  $P_2$  是用这种方法测得的  $\alpha$  值.

### 3.3 系统误差的分析

用参考衰变道对信号道的MC效率进行修正的方法所带来的系统误差主要来自(a).  $J/\psi$  与  $\psi'$  数据的采集环境的差别带来的误差; (b). 效率修正曲线拟合带来的误差.

(a)  $J/\psi$  与  $\psi'$  的数据采集环境有所不同, 因此利用  $J/\psi$  数据刻度  $\psi'$  数据时会带来一定的误差. 由于真话化文件体现了不同数据样本的谱仪性能状态的差异, 因此, 通过把  $\psi'$  数据的真实化文件应用到  $J/\psi$  数据的MC模拟中并观察其对结果的影响, 可以得到这种差异带来的误差.

在变换真实化文件后, 根据公式(3)得到的效率修正曲线  $f_c(\cos\theta)$  与之前有一定的差别, 但由于MC效率曲线  $\epsilon_{MC}(\cos\theta)$  也同时发生了变化, 在根据公式(2)对  $\alpha$  值拟合时, 这两者引起的变化是相互抵消的(见图6), 因此对结果的影响比较小, 其相对差别仅有2.2%, 这一数值被用作  $J/\psi$  与  $\psi'$  的数据采集环境的差异带来的系统误差.

(b) 由图4可知, 效率修正在不同的  $\cos(\theta)$  存在涨落, 用一平滑曲线去描述它将会带来一定的误差, 这一拟合误差会直接影响到修正后的MC探测效率( $\epsilon'_{MC}$ )随  $\cos\theta$  的分布, 进而影响到对角分布参数  $\alpha$  值的拟合.

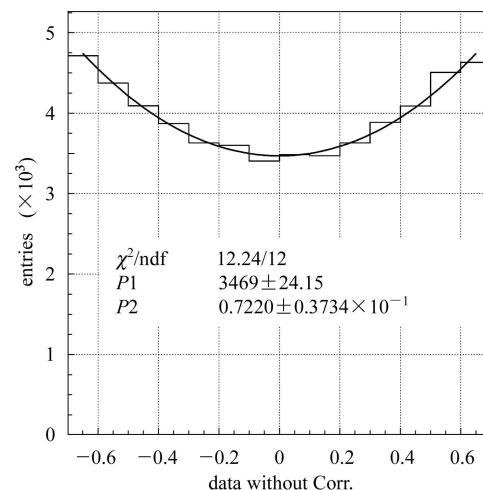


图 6 改变真实化文件后测得的  $J/\psi \rightarrow p\bar{p}$  中质子的角分布参数  $\alpha$  (图中  $P_2$ )

以公式(2)为函数形式对  $\alpha$  值的拟合中, 效率修正  $f_c(\cos\theta)$  作为一条平滑曲线被代入到拟合函数中, 如前所述,  $f_c(\cos\theta)$  可以表示为  $1 + \beta \cos^2 \theta$  的形式, 由图4可知,  $\beta = -0.087 \pm 0.025$ , 如果把  $\beta$  的值变化  $1\sigma$ , 拟合  $J/\psi \rightarrow p\bar{p}$  数据得到的角分布系数  $\alpha$  的变化约为4.8%, 这一数值被当作拟合过程带来的系统误差.

在认为(a), (b)两项误差不相关的前提下, 本文描述的效率修正方法带来的总的系统误差应为这两项的均方根.

## 4 总结

通过参考衰变道  $J/\psi \rightarrow p\bar{p}$  对信号道  $\psi' \rightarrow p\bar{p}$  角分布测量的MC效率进行修正可以解决信号道统计量不足的问题, 经过前面的分析和检查发现, 判选条件在两个衰变道之间的变换是有效的. 考虑不同极角下探测效率的涨落和  $J/\psi$  与  $\psi'$  的数据采集环境的差异导致的不确定性, 可以确定该方法带来的系统误差约为5.3%.

感谢BEPC和BES全体成员在获取58M  $J/\psi$  数据和14M  $\psi'$  数据期间所付出的辛勤劳动; 同时感谢BES刻度组, MC组,  $J/\psi$  物理组与  $\psi'$  物理组同事们的合作与支持.

## 参考文献(References)

- 1 Brodsky S J, Lepage G P. Phys. Rev., 1981, **D24**: 2848
- 2 Claudson M, Glashow S L, Wise M B. Phys. Rev., 1982, **D25**: 1345
- 3 Carimalo C. Int. J. Mod. Phys., 1985, **A2**: 249
- 4 Ambrogiani M et al(E835 Collab). Phys. Lett., 2005, **B610**: 177—182
- 5 MO X H et al. HEP & NP, 2004, **28**: 455
- 6 Feldman G J, Perl M L. Phys. Rept., 1977, **33**: 285—365
- 7 Brandelik R et al(DASP Collab). Z. Phys., 1979, **C1**: 233—256
- 8 BAI J Z et al(BES Collab). Phys. Rev., 2001, **D63**: 032002
- 9 Pedlar T K et al(CLEO Collab). Phys. Rev., 2005, **D72**: 051108
- 10 Aubert B et al(BABAR Collab). Phys. Rev., 2006, **D73**: 012005
- 11 FANG S S et al. HEP & NP, 2003, **27**(4): 277(in Chinese)  
(房双世等. 高能物理与核物理, 2003, **27**(4): 277)
- 12 BAI J Z et al(BES Collab). Phys. Lett., 2004, **B591**: 42—48
- 13 Eidelman S et al(Particle Data Group). Phys. Lett., 2004, **B592**: 1
- 14 CHEN J C et al. Phys. Rev., 2000, **D62**: 034003; Nucl. Sci. Eng., 1984, **88**: 551; Ranft J, Ritter S. Z. Phys., 1983, **C20**: 347; Fasso A et al. FLUKA 92, Proceedings of the Workshop on Simulating Accelerator Radiation Environment, Santa Fe, 1993

## Efficiency Correction in the Measurement of $\psi' \rightarrow p\bar{p}$ Angular Distribution<sup>\*</sup>

JIAO Jian-Bin<sup>1,2;1)</sup> ZHU Yong-Sheng<sup>2</sup> ZHANG Xue-Yao<sup>1</sup>

1 (Shandong University, Ji'nan 250100, China)

2 (Institute of High Energy Physics, CAS, Beijing 100049, China)

**Abstract** In the angular distribution measurement of  $\psi' \rightarrow p\bar{p}$ , the sample of  $J/\psi \rightarrow p\bar{p}$  selected from 58M  $J/\psi$  events with high statistics is used to determine the polar angle dependent efficiency, and to correct the Monte Carlo efficiency in  $\psi' \rightarrow p\bar{p}$ . The systematic error of this method is also analyzed. The obtained efficiencies and related errors are used for the measurement of angular distribution of  $\psi' \rightarrow p\bar{p}$ .

**Key words** efficiency correction, angular distribution, reference channel

Received 7 March 2006

\* Supported by National Natural Science Foundation of China (10491303) and 100 Talents Program of CAS (U-25)

1) E-mail: jiaojb@mail.ihep.ac.cn